

Clinical effects of toxic and non-toxic doses of biological and chemical silver nanoparticles on rats' neonate kidney

Yahyaei B^{1,2*}, Pourali P^{1,2}, Heidari T^{1,2}

1- Department of Medical Sciences, Shahrood Branch, Islamic Azad University, Shahrood, I.R Iran.
2- Department of Medical Sciences, Biological Nanoparticles in Medicine Research center, Shahrood Branch, Islamic Azad University, Shahrood, I.R. Iran.

Received: 2019/05/29 | Accepted: 2020/06/1

Abstract:

Background: Silver has long been known for its antibacterial properties. With the increasing use of silver nanoparticles in various consumer and medical products, it is necessary to check the toxicity of silver nanoparticles for the safety of users.

Materials and Methods: This study was done on the female Wistar rats. These rats were divided to 5 groups such as the control and four treatment groups. Toxic dose was determined based on IC₅₀. For the biological nanoparticles, the non-toxic dose was 3-4 ml and the toxic dose was 6-8 ml. For the chemical nanoparticles, the non-toxic dose was 2.5 ml and the toxic dose was 5 ml. Injections were performed in the last two weeks of gestation and sampling was performed two weeks after birth. Then histological study of renal changes in the cortical and medulla and details of each area were performed by two incisions.

Results: This test was showed that the nonpoisonous of chemical nanoparticles slightly caused the hyperemia and inflammation in renal cells. Injection of poisonous chemical nanoparticles caused serious change renal tissue. In injection of poisonous and nonpoisonous biological didn't changes tubular cells but caused little changes in renal tissue.

Conclusion: The facing with the chemical silver nanoparticles during the pregnancy related to the different dosage of silver nanoparticles induced the poison in the kidney of offspring rats. Biological nanoparticles have the less effect on the renal tissue despite of the chemical ones.

Keywords: Biological silver nanoparticles, Toxic and non-toxic doses, Kidney, Chemical nanoparticles, Neonate

***Corresponding Author:**

Email: behroozyahyaei@yahoo.com

Tel: 0098 233 239 0077

Fax: 0098 233 239 0077

Conflict of Interests: No

Feyz, Journal of Kashan University of Medical Sciences, August, 2020; Vol. 24, No 3, Pages 261-269

اثرات بالینی دوزهای سمی و غیرسمی نقره بیولوژیک و شیمیایی بر کلیه نوزادان موش صحرایی

بهروز یحیایی^{۱*}، پرستو پورعلی^۲، تانا حیدری^۱

خلاصه:

سابقه و هدف: نقره از دیرباز به علت خواص ضدباکتریایی خود شهرت داشته است. با افزایش استفاده از نانوذرات نقره در محصولات مختلف مصرفي و پزشکي، بررسی سمیت نانوذرات نقره برای امنیت استفاده کنندگان ضروری می باشد.

مواد و روش‌ها: این مطالعه تجربی بر روی ۳۰ سر موش صحرایی نژاد ویستان انجام گرفت که به پنج گروه شش تابی شامل یک گروه کنترل و چهار گروه تیمار تقسیم شدند. دوز سمی براساس IC₅₀ تعیین و برای نانوذره بیولوژیک دوز غیرسمی به میزان ۳-۴ml و دوز سمی نیز به میزان ۶-۸ml تزریق شد. برای نانوذره شیمیایی دوز غیرسمی ۰/۵ml و دوز سمی ۵ml تزریق بود. تزریقات در دو هفته پیاپی حاملگی انجام و در زمان دو هفته پس از تولد نمونه‌گیری صورت گرفت. سپس مطالعه بافت‌شناسی تغییرات کلیه نوزادان در ناحیه قشری و مرکزی انجام و به جزئیات هر تابی، توسط دو پرش پرداخته شد.

نتایج: نتایج کیفی براساس داده‌های هیستولوژیک بررسی گردید. در گروه‌های دوز سمی و غیرسمی بیولوژیک نسبت به گروه کنترل تغییر مشخصی در گلومرولها و لوله‌های کلیوی مشاهده شد، در حالی که در گروه دوز غیرسمی شیمیایی نسبت به گروه کنترل تغییرات ساختاری در گلومرولها و لوله‌ها همراه با پرخونی مشاهده شد؛ ولی در دوز سمی نانوذرات شیمیایی تغییرات متوجه وجود داشت.

نتیجه‌گیری: مواجهه با نانوذرات نقره شیمیایی در دوران بارداری مربوط به دوزهای متفاوت نانوذرات نقره، باعث بروز سمیت در کلیه فرزندان موش‌های صحرایی می‌شود. نانوذرات بیولوژیکی برخلاف مواد شیمیایی اثر کمتری روی بافت کلیوی داشتند.

واژگان کلیدی: نانوذرات نقره بیولوژیک، دوز سمی و غیرسمی، کلیه، نانوذرات شیمیایی، نوزاد

دو ماهنامه علمی - پژوهشی فیض، دوره بیست و چهارم، شماره ۳، مرداد - شهریور ۱۳۹۹، صفحات ۲۶۱-۲۶۹

بررسی‌های انجام‌گرفته حاکی از آن است که ۵۶ درصد از سهم نانوذرات جهان به نانوذرات نقره اختصاص یافته است [۵]. اطلاعات موجود نشان می‌دهد که برخی از نانوذرات نامحلول می‌توانند از موانع محافظتی عبور کنند و در بدن توزیع شوند و در اندام‌های مختلف تجمع یابند [۶]. روش‌های بسیار وسیعی برای تهییه نانوذرات نقره وجود دارد که مثال‌های قابل توجه آن‌ها شامل لیزر به رادیاسیون گاما، رادیاسیون الکترون، روش شیمیایی، روش فوتوشیمیایی، پردازش امواج میکرو و روش‌های تولید بیولوژیکی می‌شوند [۷]. روش شیمیایی شایع‌ترین راه برای سنتز نانوذرات نقره می‌باشد که به احیای شیمیایی توسط عوامل آلی و غیرآلی منجر می‌شود. در روش بیولوژیک، میکرووارگائیسم‌هایی مانند باکتری‌ها و قارچ‌ها با سیستم متabolیک خود می‌توانند نانوذرات فلزی را تولید کنند [۸]. سمیت نانوذرات نقره براساس تغییرات مورفولوژیک ایجاد شده در سلول، موجب نفوذپذیری سلول، تغییرات متabolیک و استرس اکسیداتیو زیادی می‌شود. نانوذرات نقره، ATP سلول را احیا می‌کنند و سبب آسیب به میتوکندری و افزایش تولید اکسیژن در روش وابسته به دوز می‌شوند. درمان با نانوذرات باعث می‌شود سلول در فاز معادل G₂/M متوقف شود که احتمالاً در اثر ترمیم آسیب DNA می‌باشد [۹]. نانوذرات نقره به علت رهایش یون نقره خاصیت ضدباکتری‌های هوایی و

مقدمه

یون‌های نقره و نمک‌های آن به علت پتانسیل آنتی‌میکروبیال‌شان به خوبی شناخته شده‌اند. نانوذرات در مواد ضدغیرونی کننده، ابزار پزشکی و تصفیه آب به علت خواص نقره در مقیاس نانوذره مورد استفاده قرار می‌گیرند [۱]. نانوذرات از راه‌های مختلفی وارد بدن می‌شوند و می‌توانند از طریق جریان خون به اعضای حیاتی بدن منتقل و باعث آسیب سلولی شوند [۲]. به‌طور کلی اندازه نانوذرات بین ۱-۱۰۰ nm است که این نانوذرات فلزی خواص فیزیکی و شیمیایی متفاوتی نسبت به خود فلز دارند [۳]. نانوذرات در تمام ابعاد زندگی همچون سیستم‌های الکتریکی، مبارزه با میکروب‌ها، تشخیص و درمان بیماری‌ها دارای کاربرد می‌باشند [۴].

۱. گروه پزشکی، واحد شاهروд، دانشگاه آزاد اسلامی، شاهروド، ایران
۲. گروه پزشکی، مرکز تحقیقات نانوذرات بیولوژیک در پزشکی، واحد شاهرود، دانشگاه آزاد اسلامی، شاهرود، ایران

* نشان نویسنده مسؤول:

دانشگاه آزاد اسلامی واحد شاهرود، دانشکده علوم پزشکی، گروه علوم پایه
تلفن: ۰۳۳۲۳۹۰۰۷۷
دروزیس: ۹۱۳۷۳۴۳۲۷

پست الکترونیک: behroozyahyaei@yahoo.com

تاریخ دریافت: ۱۳۹۸/۳/۸
تاریخ پذیرش نهایی: ۱۳۹۹/۳/۱۲

کلکسیون قارچ مذکور UTMC5026 می‌باشد. بیوماس سلولی بهوسیله ساتریفیوژ در دور 1500 rpm به مدت 10 دقیقه از محیط کشت جدا شد و سوپرناتانت بدست آمده جهت تولید نانوذرات نقره بررسی گردید. جهت تولید نانوذرات نقره، سوپرناتانت حاصل از قارچ مورد آزمایش در اولن 100 mL با غلظت نهایی 1 mM از محلول نیترات نقره در حجم نهایی $17/7$ درصد مخلوط شد و نمونه در گرمانه شیکردار در دمای 30°C درجه سانتی گراد و دور 150 rpm به مدت 24 ساعت قرار داده شد. نتیجه این آزمون با تغییرنگ محیط کشت در اثر تجمع خارج سلولی نانوذرات نقره مورد بررسی قرار گرفت. شاهدهای مورد استفاده شامل انکوباسیون محیط کشت به تنهایی و یون فلز در آب مقطر بود [۱۶].

اسپکتروفوتومتری نور معمولی

جذب نوری بهوسیله اسپکتروفوتومتر از 400 تا 600 nm نانومتر بررسی شد. بررسی نانوذرات تولیدشده بهوسیله پراش پرتوی ایکس (XRD) مورد بررسی قرار گرفت. زاویه اسکن 2θ و محدوده اسکن از 5 تا 90° درجه بود. نتایج با استفاده از نرم‌افزارهای X'PertHighscore plus و X'PertReflectivity مورد بررسی قرار گرفتند. بررسی تشکیل نانوذرات بهوسیله میکروسکوپ الکترونی عبوری مشاهده گردید و از نانوذرات تولیدشده، بهوسیله آن عکس برداری انجام شد. سپس با استفاده از تست سمیت سلولی و با توجه به این که IC₅₀ برای نانوذره نقره بیولوژیک در چاهک دوم دیده شد، 1 mL نانوذرات نقره ابتدا با 3 mL محیط کشت مخلوط گردید. جذب نوری این نانوذرات در طول موج بین $400-450\text{ nm}$ در چاهک اول $0/8$ و در چاهک دوم $0/4$ است. این رو جذب نوری زیر $0/4$ یعنی $0/2$ که مربوط به چاهک سوم می‌باشد، می‌تواند دوز غیرسمی را نشان دهد که بر این اساس در موش صحرایی که حدود 250 گرم وزن دارد و حدود 10 درصد وزن بدنش خون می‌باشد، دوز غیرسمی به میزان $3-4\text{ mL}$ و دوز سمی نیز به میزان $6-8\text{ mL}$ قابل تزریق است. جهت تزریق نانوذرات نقره شیمیایی، پس از حل کردن نانوذرات شیمیایی خریداری شده در آب مقطر، جذب نوری در طول موج $400-450\text{ nm}$ به $0/8-0/7$ رسانیده شد و طبق روش بالا تزریق گردید. برای این که دوز نانوذرات شیمیایی کمتر شود، ابتدا جذب نوری نانوذرات به حدود $1/2$ رسانیده شد و سپس چون باید جذب نوری برابر $0/2$ باشد تا دوز غیرسمی محسوب شود و طبق تناسب برای یک موش صحرایی که 250 گرم وزن دارد، دوز غیرسمی $2/5\text{ mL}$ و برای دوز سمی 5 mL نانوذره تزریق شد. جهت بررسی اثر دوزهای سمی و غیرسمی

بی‌هوایی را از خود نشان می‌دهند. اتصال این ذرات به پروتئین‌های حاوی گوگرد در سطح باکتری‌ها امکان ورود و تغییر در مورفوЛОژی و زنجیره تنفسی باکتری را فراهم می‌کند و در نهایت با اثرگذاری بر فرآیند مرگ سلولی منجر به مرگ عامل بیگانه می‌شود [۱۰]. نانوموادی که پایه آن‌ها از یون‌های فلزی است، دارای فعالیت سلول‌کشی علیه باکتری‌ها، قارچ و ویروس هستند. نانومواد به خصوص نانومواد فلزی به علت داشتن بار سطحی و نسبت سطح به حجم خود، آنزیم‌ها و DNA میکروارگانیسم‌ها را با تعادل الکترون‌ها از بین گروه‌های هدف الکترون، غیرفعال می‌نمایند [۱۱]. مطالعه قبلی نشان داد که قرار گرفتن در معرض نانوذرات باعث استقرار نانوذرات در جنین از طریق جفت می‌گردد و استرس اکسیداتیو تولیدشده در جنین غالباً فاکتوری ترازوژن به‌واسطه نانوذرات می‌باشد [۱۲]. در مطالعه Sung و همکاران Yeonjinless نشان داده شد که نانوذرات نقره به مقادیر فراوانی در بافت‌های نوزادان تجمع پیدا می‌کنند و همچنین اتصال نانوذرات نقره از مادر آبستن به جنین از طریق جفت امکان‌پذیر است [۱۳]. در مطالعه Sung و همکاران که بر روی اثرات نانوذرات نقره بر موش‌های صحرایی باردار و تکامل جنین آن‌ها بعد از مواجهه با نانوذرات در روزهای 6 تا 16 حاملگی انجام گردید، مشاهده شد که این تماس باعث ایجاد استرس اکسیداتیو بهویژه در بافت کبدی شد، اما در غلظت‌های کمتر از 100 نانومتر اختلال تکاملی ایجاد نگردد [۱۴]. در مطالعات قبلی که بر روی تأثیر حاد نانوذرات نقره بر کبد، کلیه و تغیرات سلول‌های خونی طی درمان خوراکی در جنین‌های نر موش سفید آزمایشگاهی انجام پذیرفت، دیده شد که استفاده از نانوذرات در دوز بالاتر از 50 ppm باعث افزایش شدت ضایعات گردید و درمان خوراکی با نانوذرات نقره باعث آسیب به بافت کبد و کلیه شد و تغییر قابل توجهی نیز در گلبول‌های سفید خون ایجاد نمود [۱۵]. با توجه به افزایش مصرف روز افزرون نانوذرات محصولات غذایی، آرایشی و ... و نیز لزوم استفاده از خواص التیامی احتمالی برخی نانوذرات از جمله انواع نقره آن‌ها، مسأله موجود و دغدغه تحقیق، در مورد اثرات بالینی موردي در برخی از ارگان‌های بدن بود و با توجه به عدم تحقیقات جامع در مورد اثرات نانوذرات، هدف از مطالعه حاضر مقایسه القای دوزهای سمی و غیرسمی نانوذرات بیولوژیک و شیمیایی بر بافت کلیه نوزادان حاصل از مادران در مواجهه قرار گرفته، می‌باشد.

مواد و روش‌ها

تولید نانوذرات نقره

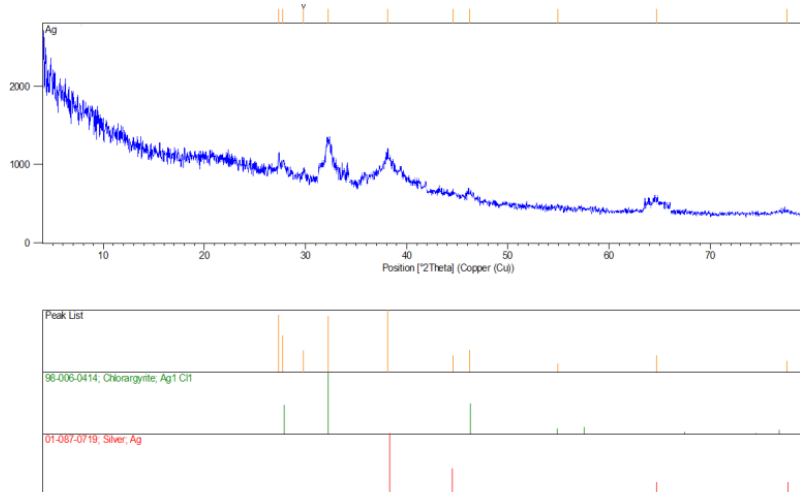
ابتدا نمونه‌ی قارچ از مرکز پژوهشی فناوری و فرآورده‌های میکروبی دانشگاه تهران خریداری شد. شماره

منظور ابتدا موش‌های صحرایی مجدد وزن‌کشی شدند و سپس جهت نمونه‌برداری بیهوش و روی تخته جراحی فیکس شدند. بهوسیله تیغ جراحی حفره شکمی آن‌ها برش داده شد و سپس ساختار کلیه توسط قیچی و پنس جداسازی و با ترازوی دیجیتالی وزن‌کشی گردید. نمونه بلاfaciale در داخل ظروف حاوی فرمالین ۱۰ درصد جهت ثبوت بافت قرار داده شد. بعد از ۲۴ ساعت محلول فرمالین تعویض گردید. سپس نمونه‌های اخذشده جهت تهیه مقاطع هیستولوژیک به آزمایشگاه هیستوپاتولوژی ارسال و از هر کلیه ۲ مقطع تهیه شد. پس از آماده‌سازی مقاطع هیستولوژیکی، از لحاظ متغیرهایی که به طور معمول و قراردادی جهت بررسی روند تغییرات هیستوپاتولوژیکی بافت کلیه مطالعه می‌شوند، به کمک میکروسکوپ نوری مورد ارزیابی بافت‌شناسی قرار گرفت. تحقیق حاضر توسط دانشکده علوم پزشکی دانشگاه آزاد اسلامی واحد شهروند با کد اخلاقی واحد شهروند IR.IAU.SHAHROOD.REC.1395.20 مورد تأیید قرار گرفته است.

نتایج

اسپکتروفوتومتری نور معمولی

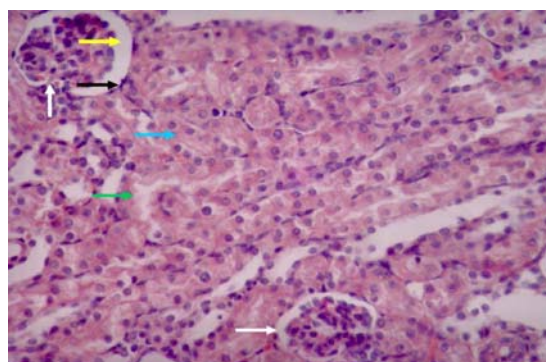
حداکثر جذب نوری در محدوده ۴۲۹ نانومتر بوده است. نتایج بررسی پراش پرتوی ایکس (XRD) حضور پیک‌های نانوذرات نقره را در نمونه نشان داد که تأییدی بر تولید نانوذرات می‌باشد. براساس راهنمای موقعیت سایر پیک‌ها نیز در شکل شماره ۱ آورده شده است.



شکل شماره ۱- نتایج بررسی نانوذرات تولیدشده بهوسیله پراش پرتوی ایکس (XRD)

نانوذرات نقره بیولوژیک و شیمیایی بر بافت کلیه، تعداد ۳۰ سر موش صحرایی ماده از نژاد ویستار از مؤسسه رازی خریداری گردیدند و جهت تطبیق با شرایط به مدت یک هفته قرنطینه شدند. سپس موش‌های صحرایی وزن‌کشی شده، به صورت تصادفی در ۵ گروه قرار گرفتند. موش‌های صحرایی گروه‌بندی شده در قفس‌های استاندارد مخصوص از جنس PVC به صورت ۵ تایی با درپوش فلزی در حالی که کف قفسه‌ها با تراشه‌های تمیز چوب پوشانده شده بود، نگهداری شدند. موش‌های صحرایی مورد تحقیق به صورت هفتگی وزن‌کشی شدند و غلظت دوزهای موردنیاز نانوذرات شیمیایی و بیولوژیک برای وزن جدید آن‌ها تنظیم گردید. گروه‌بندی موش‌های صحرایی شامل کترول، دوز غیرسمی نانوذرات بیولوژیک، دوز سمی نانوذرات شیمیایی، دوز سمی گروه ۶ موش صحرایی قرار گرفت. تمامی گروه‌ها از ۱۵ روز قبل از بارداری تا پس از زایمان در تمام مراحل، رژیم غذایی نرمال داشتند و دارویی دریافت نکردند و به منظور ایجاد بارداری از دو موش صحرایی نر استفاده شد. همچنین به دلیل کاهش تفاوت‌های ژنتیکی از نرها هم کلونی با ماده‌ها استفاده گردید. جهت تأیید بارداری پلاک واژنی مشاهده شد و وزن‌کشی نیز به صورت هفتگی انجام گردید. برای افزایش حجم نانوذرات تزریقی، تزریق طی ۴ مرحله (۲ بار در ۲ هفته پیاپی) به روش درونصفاقی و در ۲ هفته آخر بارداری انجام شد و پس از زایمان، نوزادان حدود ۲ هفته در کنار مادر نگهداری و تغذیه شدند و در پایان از بافت کلیه نوزادان پس از گذشت دو هفته از زایمان، نمونه‌گیری انجام شد که بدین

می باشد. لایه جداری کپسول بومن که ساختار پوششی خارجی اطراف گلومرول است، دارای سلول های سنگفرشی، کشیده و منظم می باشد. فضای ادراری که در اطراف کلافه مویرگی مشاهده می شود و محل دفع اوئیه ادرار از مویرگها می باشد، در ساختار گلومرولی با اندازه نرمال و قادر تغییر در سایر گلومرول ها نسبت به یکدیگر قابل رؤیت است. لوله های پیچیده پروگریمال و لوله های پیچیده دیستال که بیشتر در مقاطع بافتی به صورت عرضی دیده می شوند، دارای شکل، اندازه و ویژگی های سلولی نرمالی هستند و فضای داخلی آنها مشخص است. در قسمت مرکزی نیز لوله های مربوط به قوس هنله و لوله های جمع کننده ادرار، دارای مشخصات نرمال و سلول های طبیعی می باشند (شکل شماره ۱).



شکل شماره ۲- مقطع بافت شناسی کلیه نوزاد موش صحرایی گروه کنترل (رنگ آمیزی هماتوکسیلین و اتوژین $\times 400$). فلش سفید: گلومرول. فلش زرد: فضای ادراری. فلش سیاه: کپسول بومن. فلش آبی: لوله های پیچیده پروگریمال. فلش سبز: لوله های پیچیده دیستال.

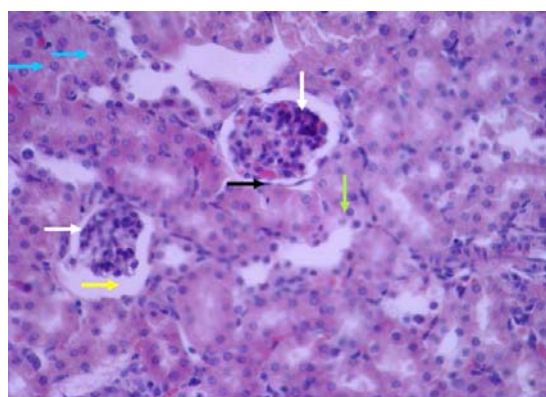
هستند. فضای ادراری دارای اندازه اتساع می باشد و کپسول بومن مشخصات طبیعی دارد. فضای داخلی لوله های پیچیده پروگریمال دارای کاهش اندازه و سلول های لوله های لوله های پیچیده دیستال نیز دچار کاهش رنگ و اندازه می باشند (شکل شماره ۲).

بررسی تشکیل نانوذرات به وسیله میکروسکوپ الکترونی عبوری نشان داد که نانوذرات نقره به صورت گرد و چندوجهی تولید شده اند و اندازه متوسط آنها حدود ۳۵ نانومتر بود.

بررسی اثرات بافت شناسی نانوذرات تزریق شده بر کلیه نوزادان موش های صحرایی

در نمونه های گروه کنترل مشخصات بافت کلیه در نواحی قشری و مرکزی کاملاً طبیعی و سالم به نظر می رسد و هیچ گونه اثری از پرخونی، التهاب یا کیست مشاهده نمی شود. در ناحیه قشری کلیه بخشی از ساختمان کرپوسول کلیوی که گلومرول می باشد، دارای اندازه و قطر طبیعی بود و در مقاطع بافتی تعداد گلومرول ها مناسب است و فواصل آنها نسبت به یکدیگر نرمال

در نمونه های بافت کلیه گروه دریافت کننده دوز غیرسمی نانوذرات نقره شیمیابی میزانی از بی نظمی و از هم گسیختگی در مقاطع مختلف قابل رؤیت می باشد. گلومرول های کلیوی دارای درجاتی از تغییر در اندازه و افزایش رنگ بازو فیلیک در برخی نواحی



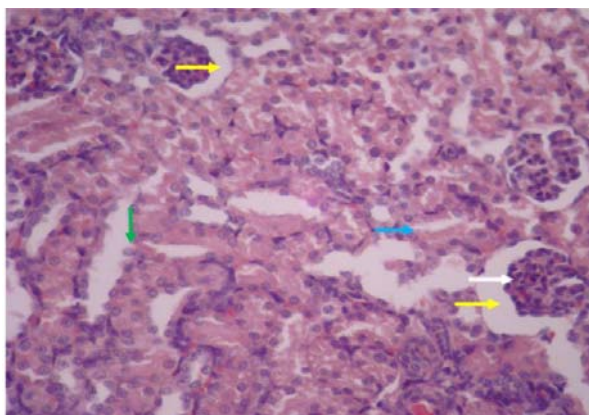
شکل شماره ۳- مقطع بافت شناسی کلیه نوزاد موش صحرایی گروه دوز غیرسمی نانوذرات نقره شیمیابی (رنگ آمیزی هماتوکسیلین و اتوژین $\times 400$). فلش سفید: گلومرول. فلش زرد: فضای ادراری. فلش سیاه: کپسول بومن. فلش آبی: لوله های پیچیده پروگریمال. فلش سبز: لوله های پیچیده دیستال.

نرمال بافتی دارد. اکثر گلومرول های کلیوی این گروه دارای اندازه و شکل مورfolوژیک طبیعی هستند و تنها تعداد اندکی از این

در نمونه های بافت کلیه گروه دریافت کننده دوز غیرسمی نانوذرات نقره بیولوژیک، ناحیه قشری و مرکزی کلیه، اندازه و مشخصات

پیچیده پروگریمال و لوله‌های پیچیده دیستال نیز قطر و اندازه فضای داخلی و شکل طبیعی دارند (شکل شماره ۴).

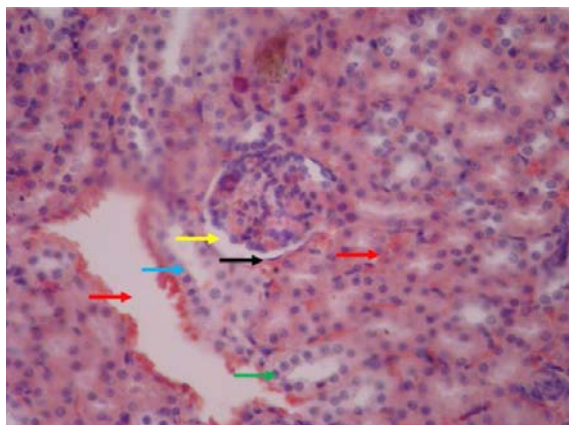
گلومرول‌ها دچار کوچکشدن و تغییرات اندازه می‌باشند. در برخی گلومرول‌ها فضای ادراری دارای اتساع می‌باشد. لوله‌های



شکل شماره ۴- مقطع بافت‌شناسی کلیه نوزاد موش صحرایی گروه دوز سمی نانوذرات نقره بیولوژیک (رنگ آمیزی هماتوکسیلین و ائوزین $\times 400$). فلش سفید: گلومرول. فلش زرد: فضای ادراری. فلش آبی: لوله‌های پیچیده پروگریمال. فلش سبز: لوله‌های پیچیده دیستال.

لوله‌های پیچیده پروگریمال دارای فضای داخلی اندازه می‌باشند و لوله‌های پیچیده دیستال تغییرات دژنراتیو دارند. در مناطق مختلف بافت، پرخونی و اتساع عروقی قابل مشاهده می‌باشد. (شکل شماره ۵)

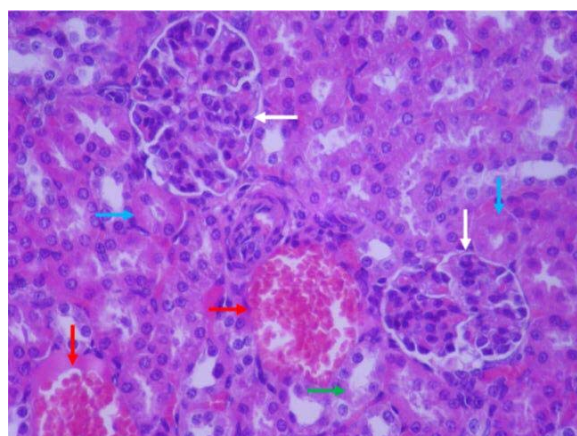
در نمونه‌های بافت کلیه گروه دریافت‌کننده دوز سمی نانوذرات نقره شیمیابی تغییرات شدیدی در نواحی مختلف بافت قابل مشاهده است. گلومرول‌ها دارای کوچکشدن و افزایش رنگ بازووفیلیک می‌باشند. فضای ادراری در آن‌ها دارای اتساع است، اما کپسول بومن مشخصات و سلول‌های سالم و منظم دارد.



شکل شماره ۵- مقطع بافت‌شناسی کلیه نوزاد موش صحرایی گروه دوز سمی نانوذرات نقره شیمیابی (رنگ آمیزی هماتوکسیلین و ائوزین $\times 400$). فلش زرد: فضای ادراری. فلش سیاه: کپسول بومن. فلش آبی: لوله‌های پیچیده پروگریمال. فلش سبز: لوله‌های پیچیده دیستال. فلش قرمز: عروق خونی.

پیچیده دیستال فاقد تغییر بودند و به لحاظ مورفولوژیک ساختار مناسبی دارند. پرخونی و اتساع عروقی در اغلب نواحی بافت کلیه قابل رویت می‌باشد (شکل شماره ۶).

در نمونه‌های بافت کلیه گروه دریافت‌کننده دوز سمی نانوذرات نقره بیولوژیک، برخی از گلومرول‌ها اندازه کوچکتر و اغلب مشخصات سالم دارند. لوله‌های پیچیده پروگریمال و لوله‌های



شکل شماره ۶- مقطع بافت‌شناسی کلیه نوزاد موش صحرایی گروه دوز سمی نانوذرات نقره بیولوژیک (رنگ آمیزی هماتوکسیلین و ائوزین $\times 400$).
فلش سفید: گلومرول. فلش آبی: لوله‌های پیچیده پروگریمال. فلش سبز: لوله‌های پیچیده دیستال. فلش قرمز: عروق خونی.

جدول شماره ۱- درجه‌بندی تغییرات موجود در متغیرهای مورد ارزیابی بافت کلیه نوزادان موش‌های صحرایی

	گروه	کنترل	دوز غیرسمی نانوذرات نقره شیمیایی	دوز غیرسمی نانوذرات نقره بیولوژیک	دوز سمی نانوذرات نقره شیمیایی	دوز سمی نانوذرات نقره بیولوژیک
	پرخونی و التهاب	لوله پروگریمال دیستال	لوله پروگریمال	کپسول بومن	گلومرول	لوله
۱	۰	۱	۰	۱	۱	۰
۰	۰	۰	۰	۱	۰	۰
۱	۱	۱	۰	۲	۰	۰
۱	۰	۰	۰	۱	۰	۰

به روش شیمیایی می‌باشد و کمتر به نانوذرات تولیدی به روش زیستی پرداخته شده است، در مطالعه‌ی حاضر بررسی تأثیر تزریق درون‌صفاقی نانوذرات نقره تولیدشده به روش شیمیایی و بیولوژیک در دوزهای سمی و غیرسمی و تغییراتی که بر سلول‌های کلیوی ایجاد می‌کنند، مورد تحقیق قرار گرفت و در این بررسی مشاهده شد، نانوذرات تولیدشده به روش بیولوژیکی در دوز غیرسمی تنها تغییرات خفیفی در گلومرول ایجاد کردند و در دوز سمی بیولوژیکی علاوه بر گلومرول باعث التهاب و پرخونی اندکی شدند. این در حالی است که دوز غیرسمی نانوذره نقره تولیدشده به روش شیمیایی باعث تغییرات اندک در گلومرول، لوله پروگریمال و شواهد اندک از پرخونی و التهاب گردید و در دوز سمی تغییرات متوسط در گلومرول و اندکی در لوله پروگریمال و دیستال و همچنین تغییرات اندک پرخونی و التهاب شد. قابل توجه است که هر دو نوع ذره نقره تولیدشده به روش‌های بیولوژیکی و شیمیایی در دوزهای غیرسمی و سمی بر کپسول بومن تأثیری نداشتند. نتایج حاصل از این مطالعه بهطور واضحی تفاوت تأثیر نانوذرات تولیدشده به روش بیولوژیک و شیمیایی را بدین‌گونه نشان داد که نانوذرات بیولوژیک در مقایسه با نانوذرات شیمیایی سمیت ناچیزی بر سلول‌های کلیه دارند و این سمیت در نانوذرات

تغییرات مشاهده شده از ۰ تا ۳ درجه‌بندی شده است. درجه ۰ بیانگر عدم مشاهده تغییر، درجه ۱ بیانگر تغییرات خفیف، درجه ۲ بیانگر تغییرات متوسط و درجه ۳ بیانگر تغییرات شدید می‌باشد.

بحث

به دلیل استفاده روزافزون از نانوذرات در زمینه‌های مختلف زندگی انسان، دانشمندان همواره در تلاش جهت یافتن راه‌هایی برای تولید نانوذرات به روش‌های کم خطر و کم هزینه بوده‌اند. روش‌های تولید نانوذرات شامل انواع روش‌های فیزیکی، شیمیایی و زیستی می‌باشد [۱۷]. اگرچه تولید به روش شیمیایی روش ساده‌ای است، ولی احتمال باقی ماندن مواد سمی حاصل از واکنش بر روی نانوذرات تولیدشده وجود دارد. در روش فیزیکی نانوذرات سمیت کمی دارند، ولی تولید به این روش زمان‌بر می‌باشد. با توجه به این معایب و مشکلات استفاده از روش‌های فیزیکی و شیمیایی امروزه روش تولید زیستی معرفی شده است که روشی آسان و ارزان و دارای سمیت کم می‌باشد و با بدن انسان سازگاری بالا دارد [۱۸]. روش‌های بیولوژیکی می‌تواند برای تولید نانوذرات با بقای بالاتر و ویژگی‌های بهتر استفاده شود [۱۹]. با توجه به این که اکثر مطالعات موجود بر روی نانوذرات تولیدشده

موش‌های دریافت‌کننده نانوذرات نقره شامل پرخونی، حضور سلول‌های آماسی، نکروز سلول‌های توبولی و گلومرونفریت کلیه می‌باشد. این یافته‌ها نشان می‌دهد که استفاده از نانوذرات نقره در دوز بالاتر از ۵۰ ppm باعث افزایش شدت ضایعات در بافت کبد و کلیه می‌شود. در بررسی شمارش گلبول‌های قرمز و اندازه‌گیری هموگلوبین و هماتوکربت تفاوت معنی‌داری میان گروه تیمار و کنترل مشاهده نشد، اما تعداد گلبول‌های سفید در گروه تیمار (غلظت ppm ۵۰) نسبت به گروه کنترل افزایش معنی‌داری نشان داد. این آزمایشات بیانگر این بود که کبد و کلیه، بافت هدف برای نانوذرات نقره می‌باشد و استفاده از نانوذرات نقره به صورت خوراکی باعث آسیب بافت کبد و کلیه موش‌ها می‌شود. این مطالعه نشان داد که درمان خوراکی نانوذرات نقره باعث تغییرات قابل توجهی بر تعداد گلبول‌های سفید خون می‌شوند [۱۵]. در مطالعه حاضر که روش مورد مواجهه، تزریق درون‌صفاقی بود، نتایج بدین صورت بود که هرچه میزان دوز سمی نانوذرات نقره شیمیایی افزایش پیدا کند، میزان روند بالا رفتن تغییرات در هیستوپاتولوژی کلیه و التهاب و آپوپتوز در سلول‌های کلیوی افزایش می‌یابد؛ ولی نانوذرات تولیدشده به روش بیولوژیک چه در دوز سمی چه در دوز غیرسمی تغییرات ناچیزی در سلول‌های کلیوی ایجاد کرد. در مطالعه پریسا یارمحمدی و همکارانش (۱۳۹۴) ۴۰ سر موش سوری نر به طور تصادفی به ۴ گروه ۱۰ تایی (گروه نانونقره، کنترل مثبت، کنترل کاذب و کنترل منفی) تقسیم شدند. پس از بیهوشی عمومی و تراشیدن پشت همه حیوانات در نزدیکی ستون فقرات، سطح بانداز در گروه نانونقره با ۵۰ میکرولیتر محلول نانونقره (۰۱۰۰ میکروگرم بر میلی لیتر)، در گروه کنترل مثبت به همان میزان محلول نیترات نقره (۰۱۰۰ میکروگرم بر میلی لیتر) و در گروه کنترل کاذب به همان میزان آب مقطر تیمار شد، سپس باندازها در سطح پوست ثابت شدند، اما گروه کنترل منفی بدون تیمار و بانداز بود. بعد از ۳ و ۷ روز، باندازها باز و سطح سرمی کراتینین و نیتروژن اوره خون (BUN) (اندازه‌گیری شد. در روزهای سوم و هفتم، در گروه نانونقره، کراتینین تغییر معنی‌داری نشان نداد، اما سطح BUN افزایش معنی‌داری در مقایسه با سایر گروه‌ها نشان داد. به علاوه تغییر معنی‌داری در پارامترهای عملکردی کلیه در روز هفتم در مقایسه با روز سوم وجود نداشت. در این مطالعه افزایش معنی‌دار BUN در گروه نانونقره می‌تواند نشانگر اختلال در عملکرد کلیه باشد، بنابراین جذب پوستی نانونقره می‌تواند اثرات سمی بر روی عملکرد کلیه داشته باشد [۲۲].

شیمیایی وابسته به دوز می‌باشد که در دوز سمی تغییرات واضحی را در بافت‌ها نشان داد. در مطالعه سیدعلیپور و همکاران (۱۳۹۳)، ۳۵ سر موش ماده نژاد NMRI به طور تصادفی، به ۵ گروه مساوی شامل یک گروه کنترل و چهار گروه تیمار تقسیم شدند. به موش‌های گروه‌های تیمار، نانوذره نقره با غلظت‌های ۱۰۰، ۵۰، ۲۰۰ و ۴۰۰ میلی گرم بر کیلوگرم به صورت درون‌صفاقی، به طور یک روز در میان تزریق شد. در روز ۱۷ بارداری، موش‌ها کالبدشکافی شدند و پس از جداسازی کلیه و جنین‌ها، برای بررسی هیستوپاتولوژی، با روش هماتوکسیلین و ائوزین رنگ‌آمیزی شدند. در بررسی هیستوپاتولوژیک کلیه گروه‌های تیمار پس از تزریق درون‌صفاقی نانوذره نقره، علامت پاتولوژی شامل: پرخونی، نکروز، ارتashاح سلول‌های التهابی و دژنرنسانس واکوئولی نسبت به گروه کنترل بود. بر طبق یافته‌های این مطالعه، نانوذره نقره بر روند ارگانوژن، تکمیل ساختار عصبی، لوپولاسیون کبدی و عقب‌ماندگی رشد جنین در طی بارداری تأثیر داشت. میانگین تعداد سمیت‌ها در گروه‌های دریافت‌کننده دوزهای ۲۰۰ و ۴۰۰ میلی گرم بر کیلوگرم نانوذره نقره در مقایسه با گروه کنترل کاهاش معنی‌داری را نشان داد. احتمال عبور نانوذره نقره ۲۰ نانومتری از جفت وجود دارد و آسیب‌های ناشی از نانوذرات نقره می‌تواند منجر به ناهنجاری و عقب‌ماندگی رشد و نمو جنین شود [۲۰]. در مطالعه یحیایی و همکاران (۲۰۱۹) نشان داده شد که نانوذرات طلا که با استفاده از باکتری‌های باسیلوس تولید می‌شوند، در کل دارای خواص سمیت اندکی بر سلول و بافت می‌باشند که این سمیت وابسته به دوز نانوذرات است. در نتیجه می‌توان از نانوذرات مذکور با دوزهای غیرسمی در بدن استفاده نمود [۲۱]. در مطالعه حاضر نیز تزریق درون‌صفاقی بود و دوز سمی و غیرسمی نانوذرات نقره شیمیایی و بیولوژیک بررسی شد. نتایج بدین صورت بود که نانوذره تولیدشده به روش بیولوژیک چه در دوز سمی چه غیرسمی باعث تغییرات ناچیزی در بافت و سلول‌های کلیوی نسبت به نانوذرات شیمیایی شد و این تغییرات در دوز سمی نانوذرات شیمیایی به نسبت شدیدتر می‌باشد که تأثیر دوز بر میزان سمیت سلولی را نشان می‌دهد، اما میزان رشد و نمو مورد ارزیابی قرار نگرفت. در مطالعه حیدر نژاد و همکاران (۱۳۹۴) که به شیوه تجربی بود، درمان خوراکی با نانو نقره روزانه در گروه تیمار ۱ با محلول ۲۰ ppm و برای گروه تیمار ۲ با ۵۰ و گروه کنترل با همان مقدار آب مقطر انجام شد. در روزهای ۲، ۷ و ۱۴ نمونه‌گیری بافت از کبد و کلیه انجام شد و بررسی‌های بافت‌شناسی نیز با رنگ‌آمیزی هماتوکسیلین و ائوزین صورت گرفت و به این نتیجه رسیدند که آسیب‌های واردشده به کلیه در

کاربردهایی از جمله دارورسانی نشان می‌دهد.

تشکر و قدردانی

نویسنده‌گان مقاله بر خود لازم می‌دانند از حمایت‌های معاونت محترم علمی و علوم پزشکی واحد شاهروド سپاسگزاری نمایند. نویسنده‌گان اعلام می‌دارند که هیچ‌گونه تضاد منافعی ندارند.

References:

- [1] Vikas S, Krishan KS, Manjit KS. Nanosilver: Potent antimicrobial agent and its biosynthesis. *African J Biotechnol* 2014; 13(4): 546-54.
- [2] Hansch C, Mc karns SC, Smith C, Dodittle D. Comparative Q SAR evidence for a free- radical mechanism of phenol induced toxicity. *Chem Psiol* 2000; 127: 61-72.
- [3] Horikoshi S, Serpone N. Introduction to Nanoparticles. In: Microwaves in Nanoparticle Synthesis. 1st ed. Edited by Satoshi Horikoshi and Nick Serpone. 2013 Wiley-VCH Verlag GmbH & Co. KGaA.
- [4] Zhang L, Jiany Y, Ding Y, Daskalakis N, Jeuken L, Povey M. Mechanistic investigation into antibacterial behaviour of suspensions of ZnO nanoparticles against E. Coli. *J Nano Particle Res* 2010; 12: 1625-36.
- [5] Salari-Joo H.R, Kalbassi, MR Johari, SA. Effect of water salinity on acute toxicity of colloidal silver nanoparticles in rainbow trout (*Oncorhynchus mykiss*) larvae. *Iran J Health Environ* 2012; 5: 121-132. [in Persian]
- [6] Hansch C, Mc karns SC, Smith C, Dodittle D. Comparative Q SAR evidence for a free-radical mechanism of phenol-induced toxicity. *Chem Psiol* 2000; 127: 61-72.
- [7] Irvani S, Korbekandi H, Mirmohammadi SV, Zolfaghari B. Synthesis of silver nanoparticles: chemical, physical and biological methods. *Res Pharm Sci* 2014; 9(6): 385-406.
- [8] Sadowski Z, Maliszewska IH, Grochowska B, Polowczyk I, Kozlecki T. Synthesis of silver nanoparticles using microorganisms. *Materials Science-Poland* 2008; 26(2): 419-24.
- [9] AshaRani PV, Low Kah Mun G, Hande MP, Valiyaveetil S. Cytotoxicity and Genotoxicity of Silver Nanoparticles in Human Cells. *ACS Nano* 2009; 3(2): 279-90.
- [10] Yanamala N, Kagan VE, Shvedova AA. Molecular modeling in structural nano-toxicology: interactions of nano-particles with nano-machinery of cells. *Adv Drug Deliv Rev* 2013; 65(15): 2070-7.
- [11] Ruparelia JP, Kumar A, Duttagupta SP, Dia M, Yaom. Use of zero valent iron nanoparticles in inactivating microbes. *Water Res* 2009; 43: 5243-51.
- [12] Moyano DF, Rotello VM. Nano meets biology: structure and function at the nanoparticle interface. *Langmuir* 2011; 27(17): 10376-85.
- [13] Lee Ye, Choi J, Kim P, Choi K, Kim S, Shon W, et al. A transfer of silver nanoparticles from pregnant rat to offspring. *Toxicological Res* 2012; 28(3): 139-41.
- [14] Yu WJ, Son JM, Lee J, Kim SH, Lee IC, Baek HS, et al. Effects of silver nanoparticles on pregnant dams and embryo-fetal development in rats. *Nanotoxicology* 2014; 8(1): 85-91.
- [15] Heydarnejad MS, Jafarzadeh R, Kabiri M. A survey of acute histopathological effects of silver nanoparticles on liver, kidney with blood cells during oral administration in male mice (*Mus musculus*). *J Shahrekhord Univ Med Sci* 2015; 17(4): 97-107. [in Persian]
- [16] Pourali P, Nouri M, Ameri F, Heidari T, Kheirkhahan N, arabzadeh S, et al. Histopathological study of the maternal exposure to the biologically produced silver nanoparticles on different organs of the offspring. *Naunyn-Schmiedeberg's Arch Pharmacol* 2020; 393(5): 867-878.
- [17] Collins P, Bradley K, Ishigami M. Extreme oxygen sensitivity of electronic properties of carbon nanotubes. *Scienmag. Res Pharm Sci* 2000; 9(6): 385-406.
- [18] Irvani S, Korbekandi H, Mirmohammadi SV, Zolfaghari B. Synthesis of silver nanoparticles: chemical, physical and biological methods. *Res Pharm Sci* 2014; 9(6): 385-406.
- [19] Kumar S, Abyaneh M, Gosavi S, Kulkarni S, Ahmad A, Khan M. Sulfite reductase-mediated synthesis of gold nanoparticles capped with phytochelatin. *Biotechnol Appl Biochem* 2007; 47: 191-5.
- [20] Seyedalipour B, Arefifar A, Khanbabae R, Hoseini SM. Cytotoxic assessment of silver nanoparticles in embryonic development and kidney tissue in pregnant mice. *J Birjand Univ Med Sci* 2015; 22(3): 218-28. [in Persian]
- [21] Yahyaei B, Pourali P, Bakherad S. Study of the possible effects of the biologically produced gold nanoparticles by *Bacillus cereus* on the function and structure of the rat's liver. *J Knowledge Health* 2019; 13(4): 3-10. [in Persian]
- [22] Yarmohammadi-Samani P, Arabi M, Yarmohammadi-Samani P. Evaluation of Dermal Absorption of Nanosilver Particles on the Renal Function Parameters in Male Mice. *Iran South Med J* 2015; 18(2): 260-9. [in Persian]

نتیجه‌گیری

در مطالعه‌ی حاضر نشان داده شد که تأثیر نانوذره تولیدشده به روش بیولوژیک در دوز سمی و غیرسمی باعث تغییرات حداقلی در بافت و سلول‌های کلیه نسبت به نانوذرات شیمیابی شد که این تغییرات در دوز سمی نانوذرات شیمیابی به نسبت شدیدتر می‌باشد که این نتایج تأثیر دوز بر میزان سمیت سلولی و همچنین این بودن استفاده از نانوذرات بیولوژیک را در